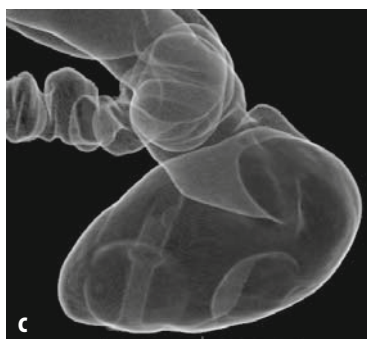


Anatomia

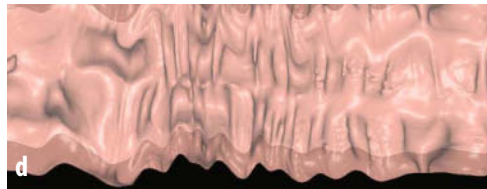
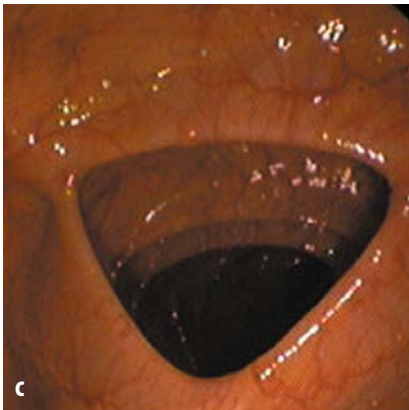
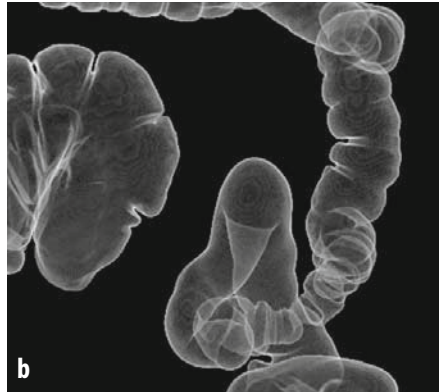
Franco Iafrate, Alessandro Pichi, Alberto Schillaci

Anatomia normale del retto



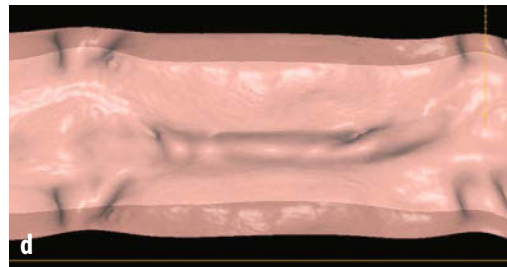
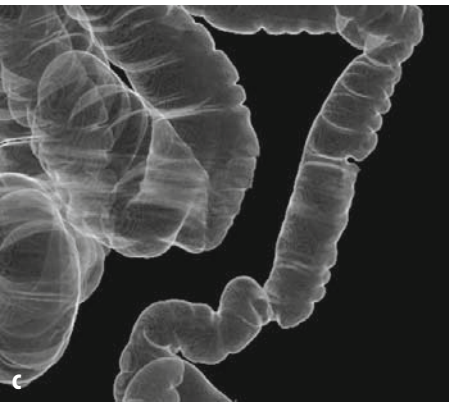
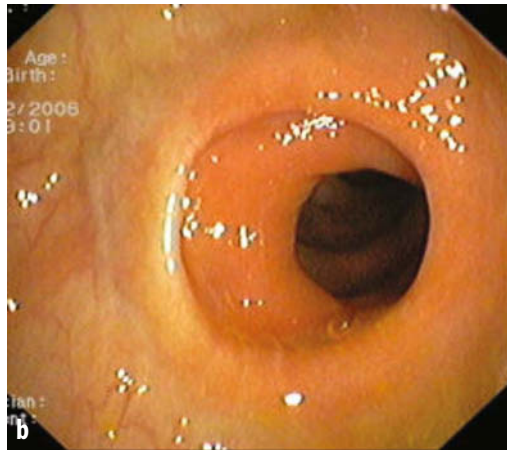
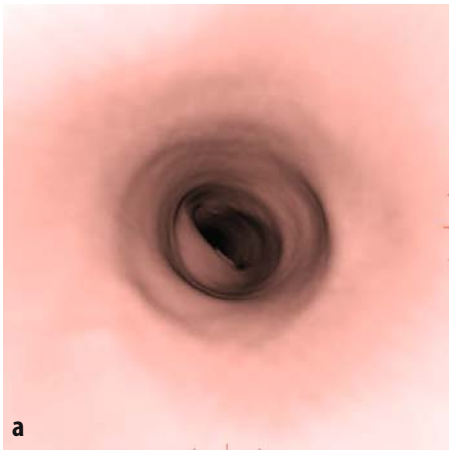
- a** Colonscopia virtuale
- b** Colonscopia convenzionale
- c** Clisma a doppio contrasto virtuale
- d** Dissezione virtuale

Anatomia normale del sigma



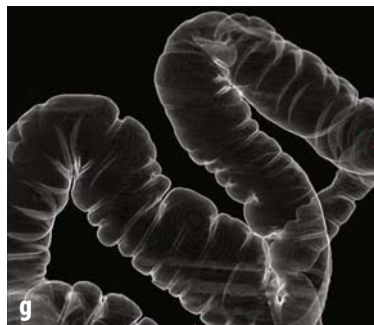
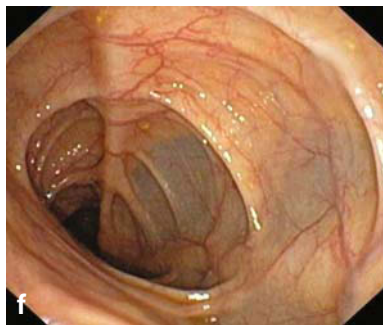
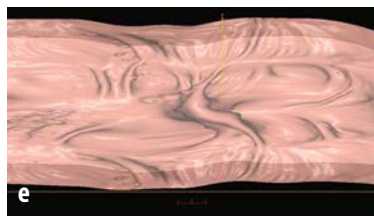
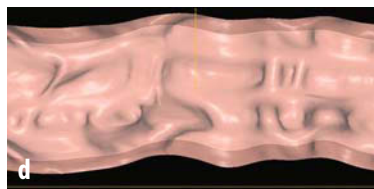
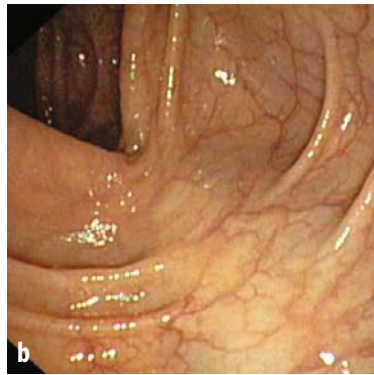
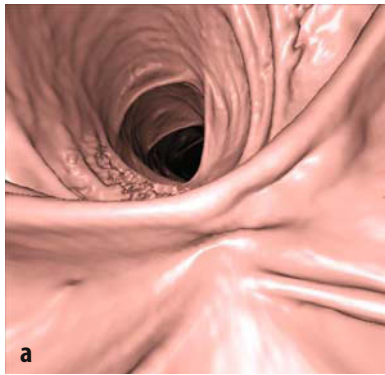
- a Colonscopia virtuale
- b Clisma a doppio contrasto virtuale
- c Colonscopia convenzionale
- d Dissezione virtuale

Anatomia normale del colon discendente



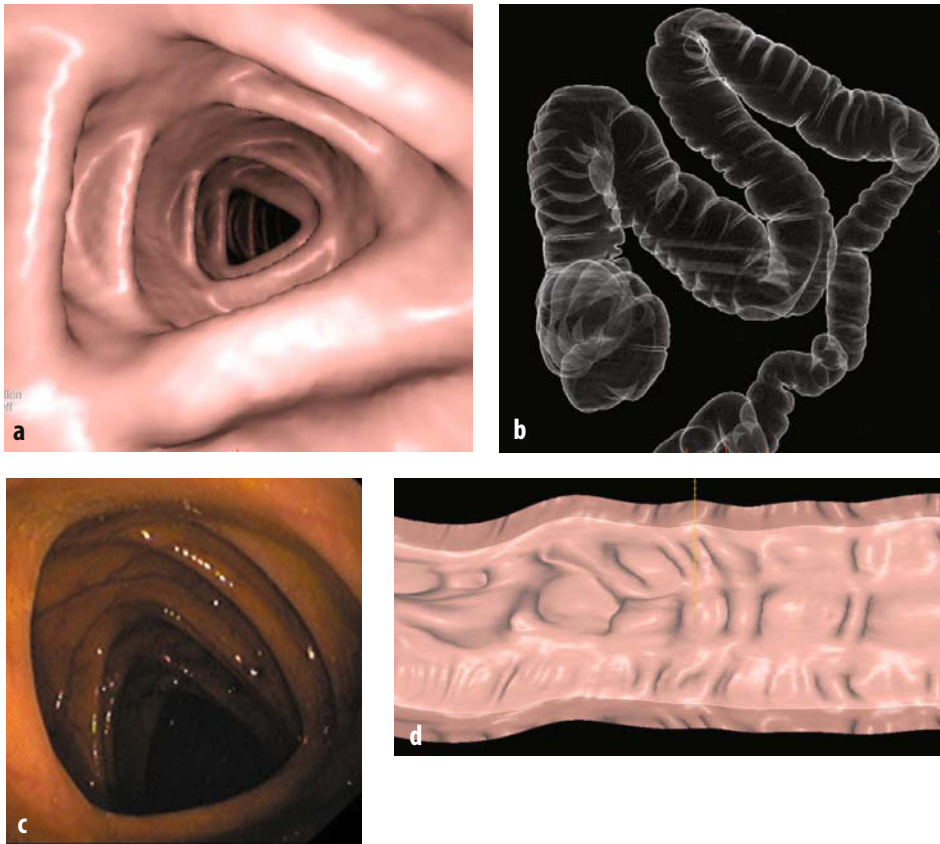
- a Colonscopia virtuale
- b Colonscopia convenzionale
- c Clisma a doppio contrasto virtuale
- d Dissezione virtuale

Anatomia normale delle flessure coliche



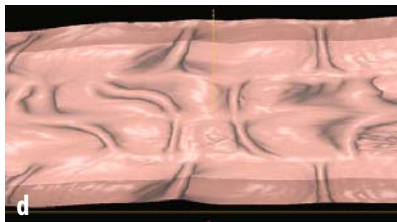
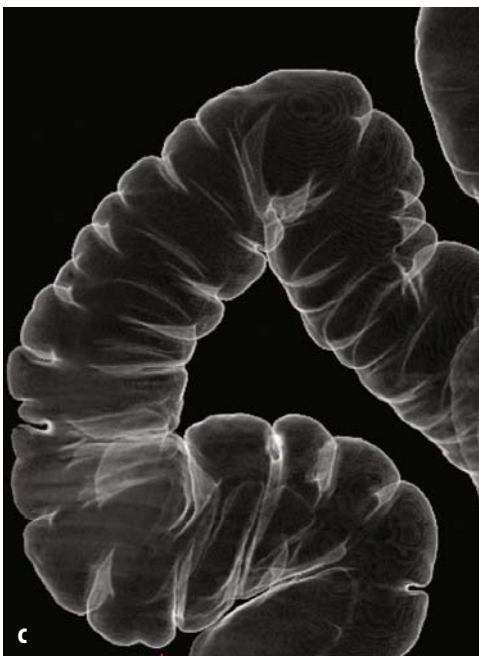
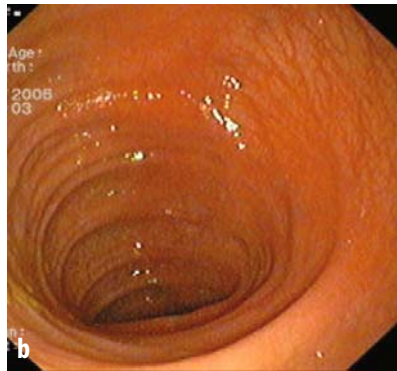
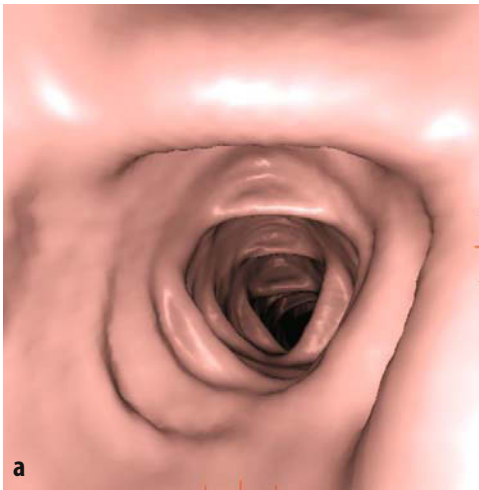
- a Colonscopia virtuale della flessura splenica
- b Colonscopia convenzionale della flessura splenica
- c Colonscopia virtuale della flessura epatica
- d Dissezione virtuale della flessura splenica
- e Dissezione virtuale della flessura epatica
- f Colonscopia convenzionale della flessura epatica
- g Clisma a doppio contrasto virtuale della flessura splenica
- h Clisma a doppio contrasto della flessura epatica

Anatomia normale del colon trasverso



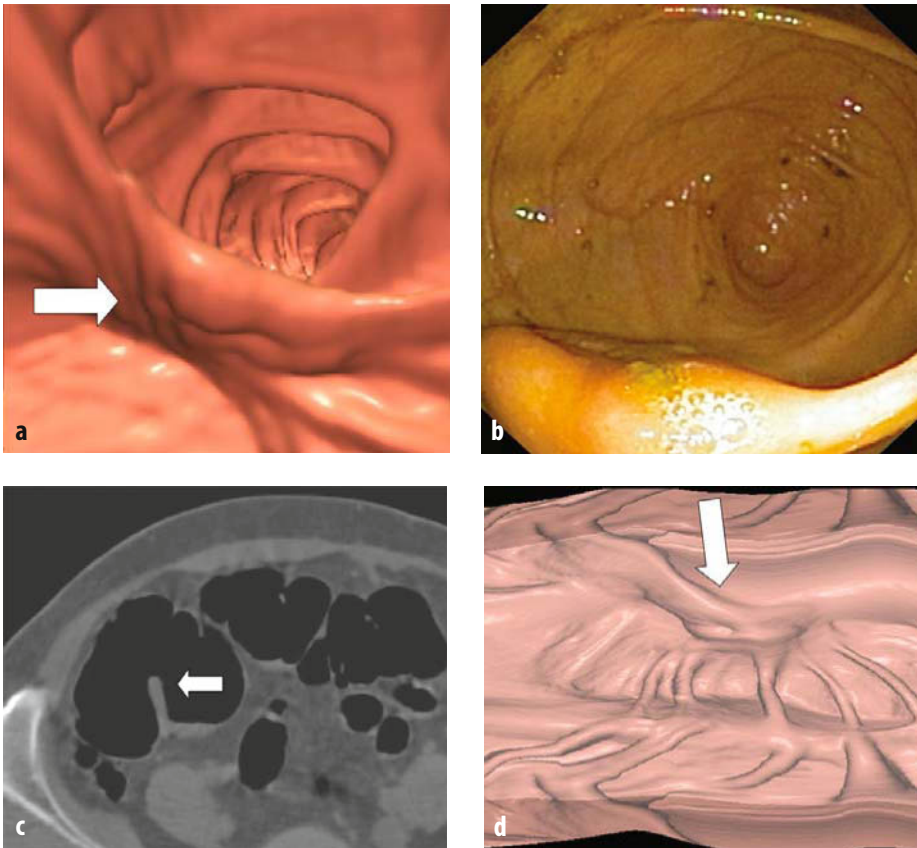
- a** Colonscopia virtuale
- b** Clisma a doppio contrasto virtuale
- c** Colonscopia convenzionale
- d** Dissezione virtuale

Anatomia normale del colon ascendente



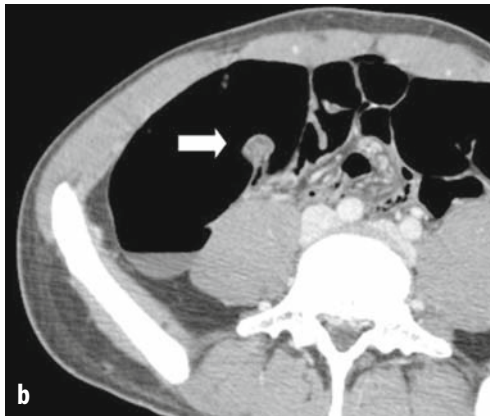
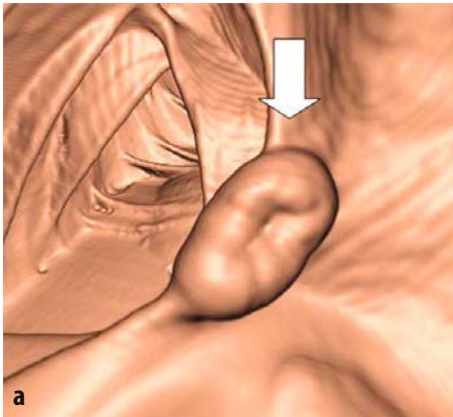
- a Colonscopia virtuale
- b Colonscopia convenzionale
- c Clisma a doppio contrasto virtuale
- d Dissezione virtuale

Anatomia normale della valvola ileo-ciecale



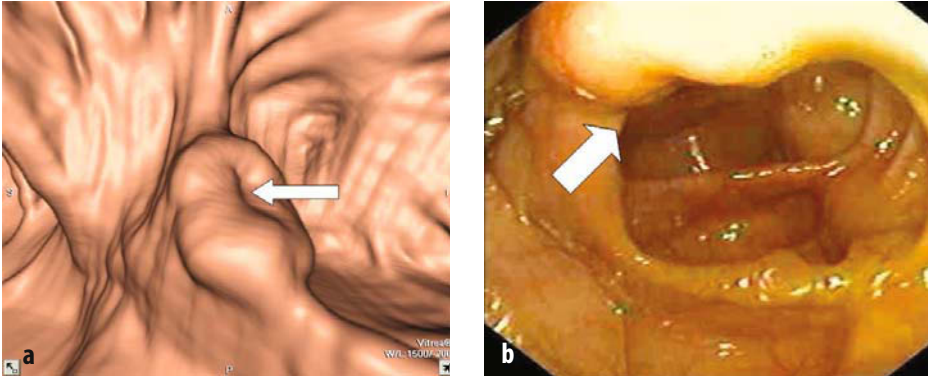
- a** Colonscopia virtuale che mostra una valvola ileo-ciecale "labiale" (*freccia*)
- b** Colonscopia convenzionale della valvola ileo-ciecale
- c** Immagine assiale che mostra l'aspetto "labiale" della valvola ileo-ciecale (*freccia*)
- d** Dissezione virtuale ove si osserva la distorsione dovuta alla presenza della valvola ileo-ciecale (*freccia*)

Anatomia normale della valvola ileo-ciecale



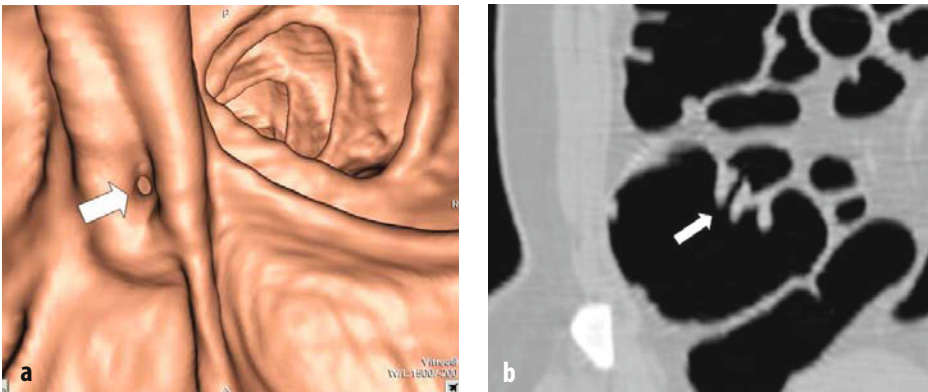
- a Colonscopia virtuale che mostra l'aspetto "papillare" della valvola ileo-ciecale lipomatosa (*freccia*)
- b Immagine assiale con la finestra addominale che mostra la presenza di tessuto adiposo nel contesto della valvola ileo-ciecale (*freccia*) che determina una condizione nota come lipomatosi della valvola ileo-ciecale
- c Colonscopia convenzionale

Anatomia normale della valvola ileo-ciecale



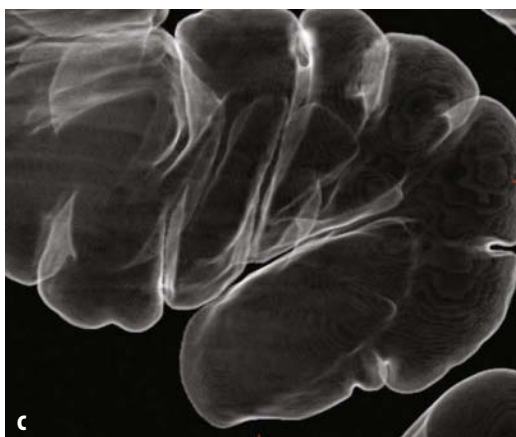
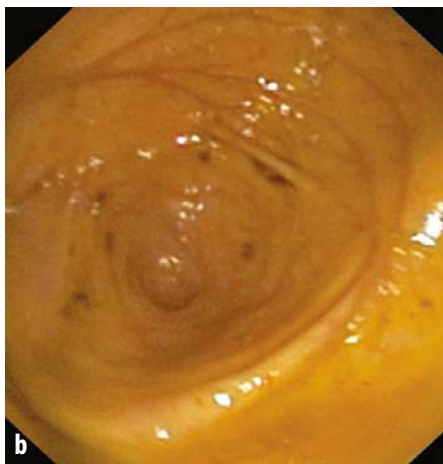
- a** Colonscopia virtuale che mostra una modesta depressione (*freccia*) al centro della valvola ileo-ciecale, che rappresenta l'orifizio valvolare
b Colonscopia convenzionale che mostra l'orifizio valvolare (*freccia*)

Anatomia normale della valvola ileo-ciecale



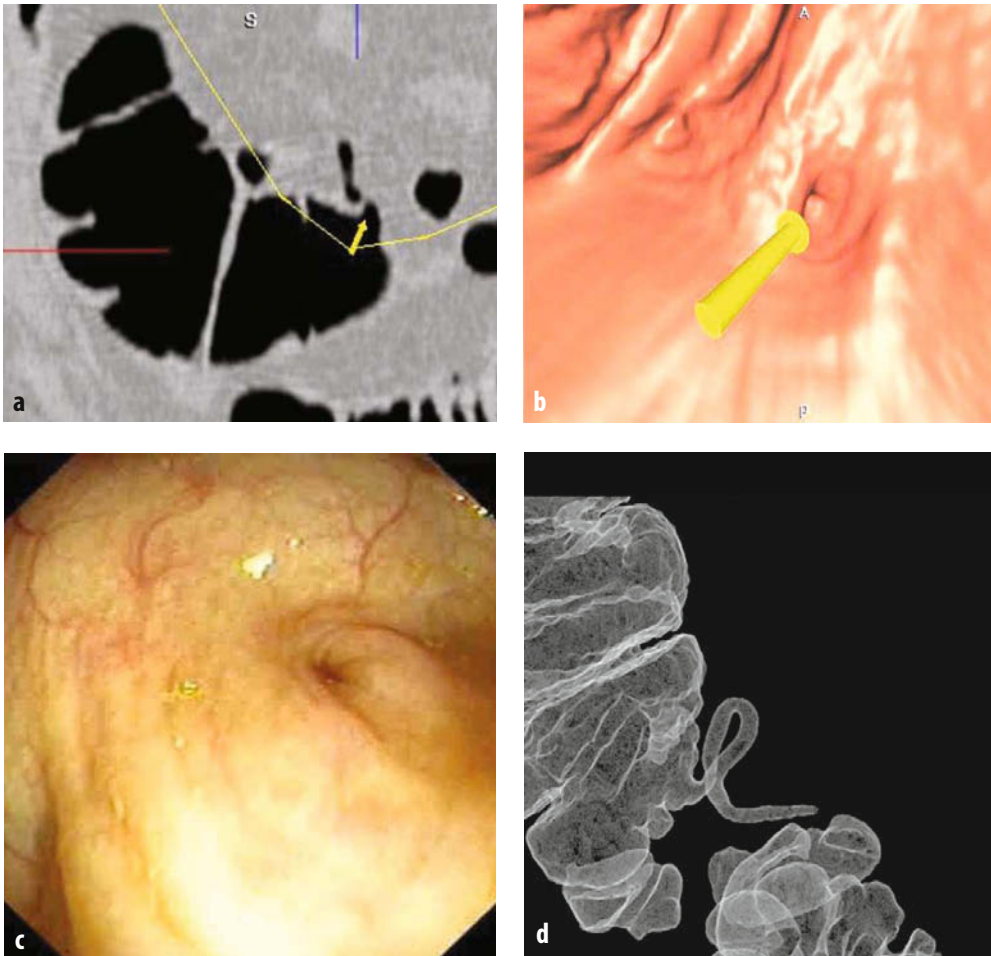
- a** Colonscopia virtuale che mostra una piccola depressione tra le due labbra della valvola ileo-ciecale dovuto all'apertura dell'orifizio valvolare (*freccia*)
b Immagine multiplanare secondo un piano coronale che documenta l'apertura (*freccia*) dell'orifizio tra le due labbra della valvola ileo-ciecale

Anatomia normale del cieco



- a Colonscopia virtuale
- b Colonscopia convenzionale
- c Clisma a doppio contrasto virtuale
- d Dissezione virtuale

Anatomia normale dell'appendice ileo-ciecale



- a** Immagine multiplanare secondo un piano coronale che mostra il minuto orifizio appendicolare (*freccia*) a livello del fondo ciecale
- b** Colonscopia virtuale che mette in evidenza una piccola depressione (*freccia*) del fondo ciecale che rappresenta l'orifizio appendicolare
- c** Colonscopia convenzionale
- d** Clisma a doppio contrasto virtuale